

В.Т.Безмельницын

РАСЧЕТ ТОНКОСТЕННОГО КРЫЛА МАЛОГО УДЛИНЕНИЯ ПО ПЛАСТИННОЙ  
АНАЛОГИИ С УЧЕТОМ ДЕФОРМАЦИИ СДВИГА СТенок ЛОНЖЕРОНОВ

В многочисленных работах подробно излагается расчет тонкостенных многолонжеронных крыльев на основе пластинной аналогии где прогиб представляется рядом

$$W(x, z) = \sum_{k=0}^m \varphi_k(z) x^k, \quad (I)$$

а для получения системы разрешающих дифференциальных уравнений используется принцип возможных перемещений. В частности, в работе [1] дано подобное решение с учетом нелинейной деформации элементов.

В рамках гипотезы прямой нормали определение касательных напряжений в стенках лонжеронов может быть осуществлено только приближенно по нормальным напряжениям в продольных ребрах и касательным в панелях обшивки, найденным без учета сдвига. Однако, как показывают расчеты, для реальных непрямоугольных профилей крыла найденные таким образом напряжения в стенках лонжеронов имеют большую погрешность.

В связи с этим здесь представлено обобщение результатов работы [1] на случай учета сдвига стенок лонжеронов. Последнее достигается путем отказа от гипотезы прямой нормали в направлении размаха.

Рассмотрим прямое крыло малого удлинения под действием поперечной нагрузки (рис. 1а). Используем для определения его напряженно-деформированного состояния теорию пластин. Полагаем, что гипотеза прямой нормали справедлива для нервюр (т.е. при изгибе по хорде)<sup>ж</sup>. Для стенок лонжеронов (т.е. при изгибе по размаху) учитываем сдвиг, за счет которого нормаль к срединной плоскости до деформации остается прямой, но не перпендикулярной к деформированной срединной поверхности.

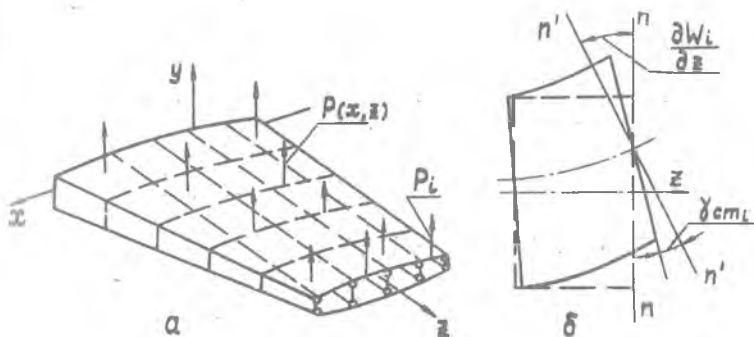


Рис. 1

Осевое перемещение  $u$  точки  $i$  конструкции вдоль оси запишется с учетом сдвига следующим образом:

$$u_i = y_i \left( \gamma_{cmi} - \frac{\partial W_i}{\partial z} \right), \quad (2)$$

а перемещение  $v$  вдоль оси  $x$  по гипотезе прямой нормали

$$v_i = -y_i \frac{\partial W_i}{\partial x}. \quad (3)$$

Полный прогиб аппроксимируем хорошо зарекомендовавшим себя рядом (I). С целью получения одностепенных разрешающих уравнений используем для сдвига аналогичный ряд

$$\gamma_{cm} = \sum_{p=0}^{\infty} \Psi_p(z) x^p. \quad (4)$$

<sup>ж</sup>) Пренебрежение сдвигом нервюр не приведет, по-видимому, к большой ошибке в связи с небольшой деформацией поперечного сечения.

Тогда для относительной деформации продольного ребра можно записать

$$\varepsilon_{z_j} = y_j \left( \sum_{p=0}^{\ell} \psi_p' x_j^p - \sum_{k=0}^{k_1} \varphi_k'' x_j^k \right). \quad (5)$$

Деформацию сдвига панели  $j$  вычисляем для ее средней точки

$$\gamma_{n_j} = y_j \left( \sum_{p=0}^{\ell} p \psi_p x_j^{p-1} - 2 \sum_{k=0}^m k \varphi_k' x_j^{k-1} \right) \quad (6)$$

и считаем постоянной по ширине. Аналогично для отрезка пояса нервюры между соседними продольными ребрами

$$\varepsilon_{x_j} = -y_j \sum_{k=0}^m k(k-1) \varphi_k x_j^{k-2}. \quad (7)$$

Искомые функции  $\varphi_k$  и  $\psi_p$  найдем, используя принцип возможных перемещений, согласно которому

$$\delta U + \delta U_{cm} = \delta A + \sum_i P_i \delta W_i. \quad (8)$$

Здесь  $\delta A$  - работа распределенных внешних сил на возможных перемещениях (определяется по формуле (17) работы [I]); второй член в правой части - работа сосредоточенных сил на возможных перемещениях. Через  $\delta U$  обозначена вариация работы деформации без учета сдвига стенок лонжеронов (см. формулу (3) работы [I]). Вариация работы сдвига стенок лонжеронов учитывается членом

$$\delta U_{cm} = \int_0^{\ell} \sum_j \psi_{cm_j} \delta_{cm_j} h_{cm_j} (\gamma_{cm_j} - \tilde{\gamma}_{cm_j}) \delta \gamma_{cm_j} dz. \quad (9)$$

Поставим в (9) значение деформаций согласно (4) - (7). Тогда из (8) можно получить аналогично тому, как это было сделано в [I], систему разрешающих дифференциальных уравнений

$$\begin{aligned} (\varphi_{k2} - \psi_{k2})'' - (\varphi_{k1} - \psi_{k1})' + \varphi_{k0} &= \beta_k - \tilde{n}_k'' + k \tilde{n}_{0_{k-1}} \quad k=0, 1, 2, \dots, m \\ (\varphi_{p2} - \psi_{p2})' - \frac{1}{2} (\varphi_{p1} - \psi_{p1}) + \psi_{p0} &= -\tilde{n}_p' + \frac{1}{2} p \tilde{n}_{0_{p-1}} + \tilde{n}_{cm_p} \quad p=0, 1, \dots, \ell \end{aligned} \quad (10)$$

и естественных граничных условий

$$\begin{aligned} [(\varphi_{k2} - \psi_{k2})' - (\varphi_{k1} - \psi_{k1}) + \tilde{n}_k - k \tilde{n}_{0_{k-1}}]_{|z=\ell} &= T_k \quad k=0, 1, 2, \dots, m \\ (\varphi_{p2} - \psi_{p2} + \tilde{n}_p)_{|z=\ell} &= 0 \quad p=0, 1, 2, \dots \quad \left| \begin{array}{l} m \text{ при } m \geq \ell \\ \ell \text{ при } m < \ell \end{array} \right. \end{aligned} \quad (11)$$

для определения искоемых функций  $\psi_k$  и  $\psi_p$ . При этом учтены геометрические граничные условия в заделке [I], из которых следует

$$\psi_k(0) = 0. \quad (I2)$$

Кроме того, необходимо удовлетворить условиям отсутствия осевых перемещений поясов лонжеронов

$$u_i(x_i, 0) = y_i \left[ \sum_{p=0}^{\ell} \psi_p(0) x_i^p - \sum_{k=0}^m \psi'_k(0) x_i^k \right].$$

В зависимости от соотношения числа членов ряда в выражении для прогиба и сдвига получаются следующие условия в заделке:

$$\begin{aligned} \text{а) } \ell > m & \quad \begin{aligned} \psi'_k(0) - \psi_k(0) &= 0 & k = 0, 1, 2, \dots, m \\ \psi_t(0) &= 0 & t = m+1, m+2, \dots, \ell \end{aligned} \\ \text{б) } \ell < m & \quad \begin{aligned} \psi'_p(0) - \psi_p(0) &= 0 & p = 0, 1, \dots, \ell \\ \psi'_t(0) &= 0 & t = \ell+1, \ell+2, \dots, m \end{aligned} \\ \text{в) } \ell = m & \quad \psi'_k(0) - \psi_k(0) = 0 \quad k = 0, 1, 2, \dots, m. \end{aligned} \quad (I3)$$

В уравнениях (IO), (II) использованы обозначения работы [I] и введены новые

$$\psi_{i0} = \sum_{j=0}^{\ell} \tau_{cm_{i+j}} \psi_j, \quad \psi_{i1} = \frac{1}{2} i \sum_{j=0}^{\ell} \tau_{0_{i+j-2}} \psi_j, \quad \psi_{i2} = \sum_{j=0}^{\ell} \bar{\tau}_{i-j} \psi'_j \quad (I4)$$

$$\tau_{cm_p} = \sum_t \rho_{cm_t} \delta_{cm_t} h_{cm_t} x_{cm_t}^p, \quad T_p = \sum_u P_u x_u^p, \quad \bar{\tau}_{cm_p} = \sum_t \gamma_{cm_t} \delta_{cm_t} h_{cm_t} \bar{\gamma}_{cm_t} x_{cm_t}^p.$$

Решение системы (IO) с учетом граничных условий (II) - (I3) производилось методом интегрирующих матриц [2], [3]. Числовые решения выполнены для прямого тонкостенного пятилонжеронного крыла удлинения  $\lambda = 1$  регулярной структуры непрямоугольного поперечного сечения, постоянного по размаху. В ряде для прогиба удерживалось два, а для сдвига - три члена.

Результаты приведены на рис. 2 и 3 (для сечения заделки) и рис. 4 и 5 (по размаху для наиболее нагруженных элементов) в виде безразмерных графиков нормальных напряжений в продольных ребрах и касательных в стенках лонжеронов. Результаты, полученные по предложенной методике, обозначены сплошными

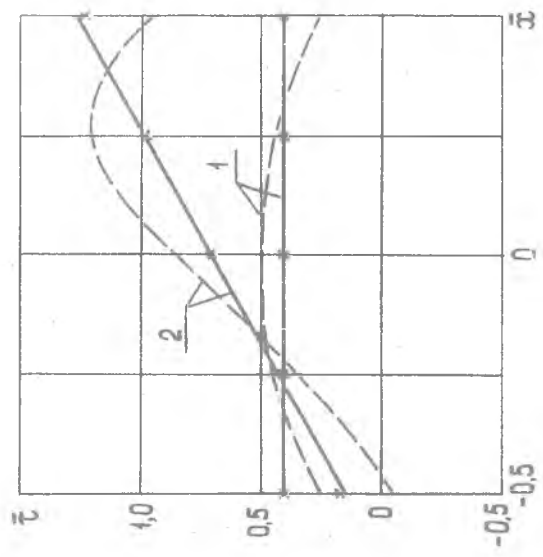


Рис. 3

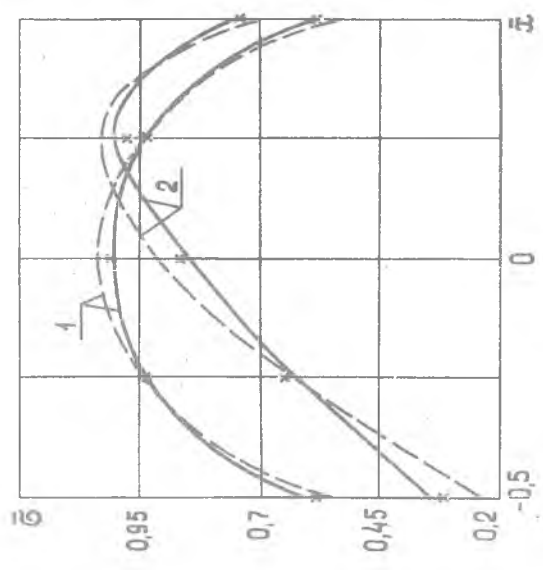


Рис. 2

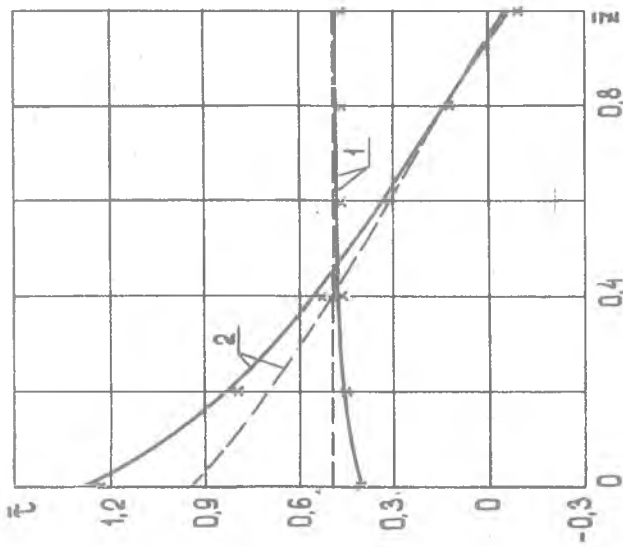


Рис. 5

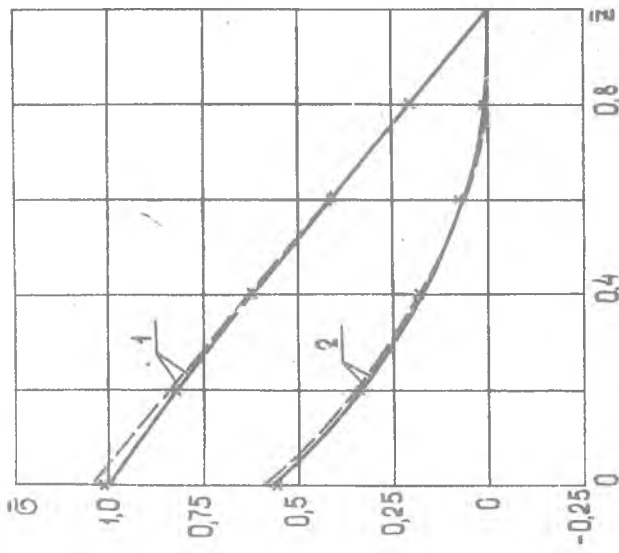


Рис. 4

ми линиями. Ввиду отсутствия экспериментальных данных по касательным напряжениям в стенках лонжеронов сравнение производилось с результатами, полученными по формулам работы [4] на основе теории тонкостенных конструкций Ю.Г.Одинокова [5] (отмечены крестиками на графиках). Приведены также результаты расчета по пластинной аналогии без учета сдвига стенок лонжеронов [1] (штриховые линии).

Из приведенных графиков можно сделать вывод, что как в случае нагружения сосредоточенной силой на свободной кромке крыла (кривые 1), так и в случае распределенной нагрузки, имеющей треугольный закон по хорде и постоянной по размаху (кривые 2), учет сдвига стенок лонжеронов вносит существенную поправку в распределение касательных напряжений в них, особенно в зоне заделки.

#### Л и т е р а т у р а

1. Вахитов М.Б., Сафариев М.С., Безмельницын В.Т. Труды КАИ, вып. 145, 1972.
2. Вахитов М.Б. ИВУЗ, "Авиационная техника", № 2, 1962.
3. Вахитов М.Б. ИВУЗ, "Авиационная техника", № 3, 1966.
4. Сафонов А.С., Вахитов М.Б. ИВУЗ, "Авиационная техника", № 2, 1972.
5. Одинокоев Ю.Г. Труды КАИ, вып. 20, 1948.